

I. 緒 言

河川蛇行の成因については 古くから色々の説が出されているが、未だ定説はないようと思われる。戦前までは河川の蛇行は河岸の交互の侵食を意味するもののように考えられていたようであるが、

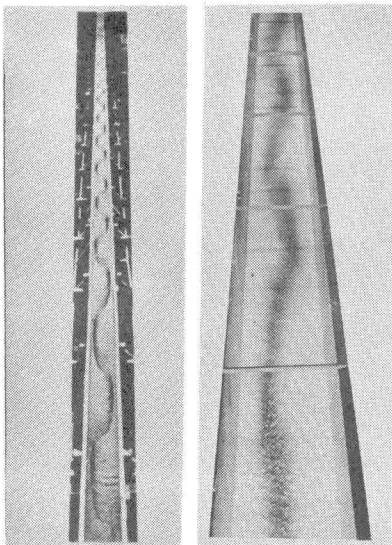


写真1. 交互の sand waves
(木下良作博士¹⁾)

写真2. 水流の蛇行(画面下部より上部に向け流れ) (木下良作博士¹⁾)

戦後 木下良作博士は 両岸が剛な直立壁であっても水流の蛇行は起りうるという驚くべき事実を明らかにされた。¹⁾ 本論文で取扱うのは この木下博士の取扱われた場合——剛の側壁を有する矩形断面水路内の交互の斜め sand waves の発生および水流の蛇行(写真1, 2)についてである。

2. Sand waves の成因

3次元的に交互に起る sand waves の成因を考える前に、本節ではまず2次元的な sand waves (斜めではない sand waves) の成因について考えてみる。

2次元的な sand waves の発生の理論としては、周知のように Kennedy の理論²⁾ がある。彼は水流の流れにボテンシャル理論を適用するとともに、流砂量と流速変化との関係に新しい見解——phase lag——を導入し、dune, anti-dune の発生の可能性および卓越波長などについて研究した。彼の 単位河中当たりの流砂量(容積)の表現は

$$G(x, t) = m [\phi_x(x-\delta, -d, t)]^n \quad \dots \quad \dots \quad \dots \quad \dots \quad \dots \quad \dots \quad (1)$$

ここで、 δ : 遅れの距離、 $\phi_x = \partial\phi/\partial x$ 、 d : 水深($y = -d$ は河床面)、
 m , n : 常数

である。彼はこの遅れの距離 δ を 0 から入(sand wave の波長)まで大巾に変化させて sand wave の増やまたは消滅の条件を研究したが、この理論においては 遅れの距離 δ が大きくなればなるほどこのまゝでは正体のはっきりしないものであって、これを水理条件と底質の実験として明らかにすることが望まれてきていたようと思われる。

本論文においては、(1)式を簡略して、次のような流砂量方程式が成立つようなモデルについて考えるここととする。

$$G(x, t) = m \cdot \left[1 + \alpha \frac{\partial \eta(x-\delta, t)}{\partial x} \right] \cdot \left[\frac{\partial \phi(x-\delta, -d, t)}{\partial x} \right]^n \quad \dots \quad (2)$$

$\alpha \partial \eta / \partial x$ の項を導入したわけは、sand wave の形状がもし

図-1. のように対称(①の断面につけて)であったとき、sand wave の背面には若干の剥離が起

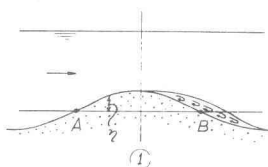


図-1.

るから、図-1. の A 川に作用する剪断力（従って A 川の流砂量）は、これと対称な B 川に作用する剪断力（従って B 川の流砂量）よりは大となるという事実を計算に組み入れるためにある。 α には近似的に常数と考える。

sand wave 面上に作用する剪断力と 率水によつて動かされる流砂量との間には、厳密にいえばいくらかの遅れの距離 δ がある筈であるから、(2)式にはこれを入れてある。この δ は Kennedy の δ とは本質的に異なる、小さな値（底質粒子径の $1/10$ ないし数倍の値）と考える。

図-2. および 図-3. は(2)式²で計算される
流砂量の値(破線)と(2)式² $\alpha = 0$ とした式²
で計算される流砂量の値(実線)とを図示したものである。
たゞし、 $z_1^2 z_2^2$ は 説明の簡単化のために、
右に $\delta = 0$ の場合について画いてある。これらの場合
の破線で示された流砂量の場合には、sand wave
の山²は堆積が起つて山は益々高くなり、逆に 谷²
は洗掘が起つて谷は益々深くなり、すなわち 波高
が増ゆされてゆくことが明らかに理解される。
($\alpha = 0$ と増ゆしない)。(2)式と同様の式を次節に使
研究を行ふ。

3. 蛇行の理論

図-4. のような座標軸をとる。河床には 同図に示したような

$\eta = a \sin kx \cos [z - (l + \pi/B)t]$ が表わされる
 ような sand waves がえらねたとするとき、いか
 なる l/B のものが最も増や率が大きいか（ある川や
 どの範囲の l/B のものが減衰するか）を考える。水
 流にはボテンシャル理論を適用すると、水流中の任意の
 点で満足されるべき方程式は

水面 z' の条件は

$$0 = -gy - \frac{1}{2} (\phi_x^2 + \phi_y^2 + \phi_z^2) + \text{const.} \quad \dots (5) \quad \text{おまけ} \quad U\phi_x = \phi_y \quad \dots (6)$$

水底の条件は

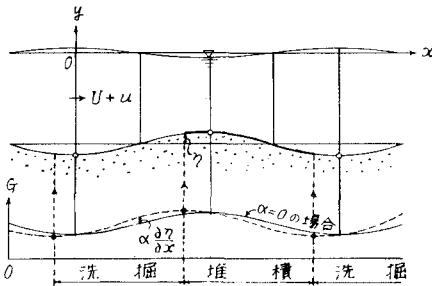


図-2. 流砂量の場所的変化（常流の場合）

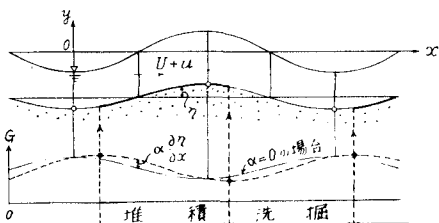


図-3. 流砂量の場所的变化(射流の場合)

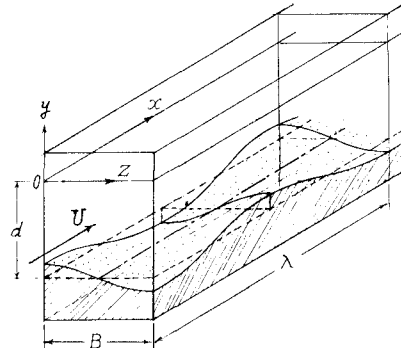


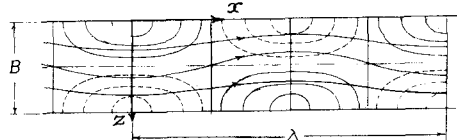
図-4. 交互の斜め sand waves
と座標軸

たゞし、 α : sand wave の振巾、 U_b : sand wave の移動速度である。sand wave ができる以前の水流の流速を U (undisturbed velocity) とすれば、これらの境界条件を満足する (4) 式の解は

$$\phi = Ux - \frac{Uk}{\beta} \alpha \frac{\cosh \beta y + (Fr^2 k^2 d / \beta) \sinh \beta y}{\sinh kd - (Fr^2 k^2 d / \beta) \cosh kd} \cos k(x - U_b t) \cos l z \quad \dots \quad (8)$$

たゞし、 $\beta = \sqrt{k^2 + l^2}$, $Fr^2 = U^2 / gd$ である。つぎに、流線の方程式

$$\frac{dx}{d\phi / dz} = \frac{dz}{d\phi / dy} = \frac{dy}{d\phi / dx}$$



により $y = -d$ (水底) における流線の形を求めてみるとつきのようになる：

図-5. 河床面の流線

$$\frac{dz}{dx} = \frac{kl}{\beta} \alpha \frac{1 - (Fr^2 k^2 d / \beta) \tanh \beta d}{\tanh \beta d - (Fr^2 k^2 d / \beta)} \cos k(x - U_b t) \sin l z \quad \dots \quad (9)$$

任意の瞬間ににおけるこの流線と水底の形状とを併せ示したもののが図-5 である。さて、いま、この瞬間的な流線に沿って s 軸、それと直交して s' 軸とすると、 s 方向への流砂量は (2) 式と同様の式で表わされる筈である、それは次のようである。

$$G_s = m \cdot [1 + \alpha \partial \eta(s - \delta, s', t) / \partial s] \cdot [\partial \phi(s - \delta, s', t) / \partial s]^n \quad \dots \quad (10)$$

たゞし、 G_s : s 方向への流砂量である。sand wave の振巾 α が小さいと α^2 , α^2 以上の項を無視しながら、上式の G_s を x , z 方向への流砂量成分 G_x および G_z に分解すると、

$$G_x = \bar{G} \cdot \left[1 + \alpha \frac{\partial \eta(x - \delta, z, t)}{\partial x} + \frac{n}{U} \frac{\partial \bar{\phi}(x - \delta, z, t)}{\partial x} + \dots \right] \quad \dots \quad (11)$$

$$G_z = \bar{G} \cdot \frac{dz}{dx} \quad \dots \quad (12)$$

$$\text{たゞし}, \bar{G} = m U^n, \bar{\phi} = \phi - Ux \quad \dots \quad (13)$$

(11), (12) の両式を流砂量の連続方程式 $\partial \eta / \partial t + \partial G_x / \partial x + \partial G_z / \partial z = 0$ に代入すると、

$$\frac{\partial \eta}{\partial t} + \bar{G} \left[\alpha \frac{\partial^2 \eta(x - \delta, z, t)}{\partial x^2} + \frac{n}{U} \frac{\partial^2 \bar{\phi}(x - \delta, z, t)}{\partial x^2} + \frac{\partial}{\partial z} \frac{\partial z}{\partial x} \right] = 0 \quad \dots \quad (14)$$

となる。(14) 式に (3) 式、(8) 式からえられる $\bar{\phi}$ の表現、および (9) 式からえられる dz/dx を代入すると、

$$\begin{aligned} \frac{\partial \eta}{\partial t} + \bar{G} K^2 \left\{ -\alpha \cos k \delta + \frac{n k}{\beta} \frac{1 - (Fr^2 k^2 d / \beta) \tanh \beta d}{\tanh \beta d - (Fr^2 k^2 d / \beta)} \sin k \delta \right\} \\ + K \cot k(x - U_b t) \cdot \left[-U_b + \bar{G} K \left\{ \alpha \sin k \delta + \frac{n k}{\beta} \frac{1 - (Fr^2 k^2 d / \beta) \tanh \beta d}{\tanh \beta d - (Fr^2 k^2 d / \beta)} (\cos k \delta + \frac{l^2}{n k^2}) \right\} \right] \\ = 0 \quad \dots \quad (15) \end{aligned}$$

となる。さて (7) 式において仮定したように、 α が t のみの関数であるためには、上式においてオ2行目の $\cot k(x - U_b t)$ にかかる大カッコの中が 0 にならなければならぬ。よって $U_b = \bar{G} K \left[\alpha \sin k \delta + (n k / \beta) \left\{ 1 - (Fr^2 k^2 d / \beta) \tanh \beta d \right\} / \left\{ \tanh \beta d - (Fr^2 k^2 d / \beta) \right\} (\cos k \delta + l^2 / n k^2) \right]$ (16)

となり、これが sand wave の移動速度をえる。この場合 (15) 式は積分され、

$$a(t) = a(0) \cdot \exp \left[\bar{G} K^2 \left\{ \alpha \cos K\delta - \frac{nK}{\beta} \frac{1 - (Fr^2 K^2 d/\beta) \tanh \beta d}{\tanh \beta d - (Fr^2 K^2 d/\beta)} \sin K\delta \right\} t \right] \quad \dots (17)$$

となる。ところが、初めの仮定からも明らかのように、 $K\delta \ll \pi/2$ よって (16), (17) の両式は互に一致するようになる。

$$U_b = n \bar{G} K \left\{ \frac{\alpha K \delta}{n} + \frac{K}{\beta} \frac{1 - (Fr^2 K^2 d/\beta) \tanh \beta d}{\tanh \beta d - (Fr^2 K^2 d/\beta)} \left(1 + \frac{1}{n} \frac{l^2}{K^2} \right) \right\} \quad \dots \dots \dots (18)$$

$$a(t) = a(0) \cdot \exp \left[\bar{G} n K^3 \delta \left\{ \frac{\alpha}{n K \delta} - \frac{K}{\beta} \frac{1 - (Fr^2 K^2 d/\beta) \tanh \beta d}{\tanh \beta d - (Fr^2 K^2 d/\beta)} \right\} \cdot t \right] \quad \dots (19)$$

ここで、 $\bar{G} = m U^n$ の $n = 2$ と仮定し、 $\bar{G} = m U^2$ で代入し、 $l = 2\pi/\lambda$, $K = \pi/B$ の関係を使用し、また $\lambda/B = R$ である記号を用いると、(19) および (18) の両式は互に一致するようになる。

$$a(t) = a(0) \cdot \exp \left[\alpha \pi^2 \frac{mg}{B} \frac{2K\delta}{\alpha} \cdot Fr^2 \frac{d}{B} \left(\frac{2}{R} \right)^2 \left\{ \frac{\alpha}{2K\delta} - f(Fr, \frac{d}{B}, R) \right\} \cdot t \right] \quad \dots (20)$$

$$U_b = 4\pi mg \cdot Fr^2 \frac{d}{B} \frac{1}{R} \left\{ 1 + \frac{1}{2} \left(\frac{R}{2} \right)^2 \right\} \cdot f(Fr, \frac{d}{B}, R) \quad \dots \dots \dots (21)$$

$$\text{ただし, } f(Fr, \frac{d}{B}, R) = \frac{1}{\sqrt{1 + (\frac{R}{2})^2}} \frac{1 - \pi Fr^2 \frac{d}{B} \frac{1}{B \frac{2}{2} \sqrt{1 + (\frac{R}{2})^2}} \tanh \left[\pi \frac{d}{B} \sqrt{\left(\frac{2}{R} \right)^2 + 1} \right]}{\tanh \left[\pi \frac{d}{B} \sqrt{\left(\frac{2}{R} \right)^2 + 1} \right] - \pi Fr^2 \frac{d}{B} \frac{1}{B \frac{2}{2} \sqrt{1 + (\frac{R}{2})^2}}} \quad \dots \dots \dots (22)$$

(20) 式の a のべきが正となるようなる場合には、sand waves の波高が時間とともに大きくなる（すなはち、蛇行する）ことを示す。この場合、えられた Froude 数 およびえられた d/B

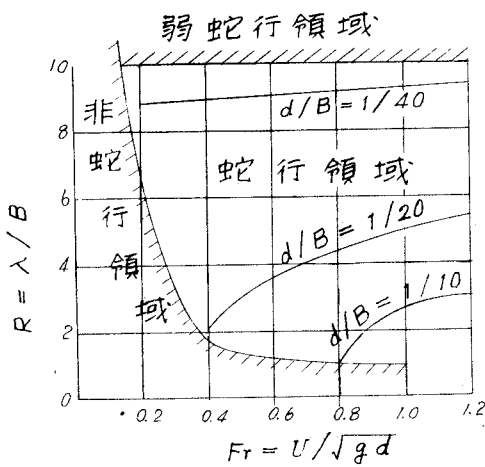


図-6. 蛇行範囲

文献 1) 木下良作, 土木学会論文集, 昭-32, 2月, 2) J.F. Kennedy, Journ. Fluid Mech. 1963-III.

[附記] 本研究の大部分は、1967年度冬学期 Iowa 大学の Visiting prof. として同大学水理研究所において行われたものであり、本研究の着想については同研究所所長 John F. Kennedy 教授よりの討議による所が大きい。この数値計算には、中央大学大学院学生片山統雄君が協力した。また、実験-2 関係の実験は、文部省昭和42年度特定研究「土砂の流出、流送による河川災害の基礎的研究」(研究代表者名大 西畠勇夫教授) により中大において行われたものである。